# 钒钛材料与应用

# 机械力辅助固相法合成钛酸锂

## 孙震宇 彭 成 冯少博 韩 庆

(东北大学冶金学院 辽宁 沈阳 110819)

摘 要: 以二氧化钛为钛源 碳酸锂为锂源 ,应用机械力辅助固相法一步合成钛酸锂(  $\text{Li}_4\text{Ti}_5\text{O}_{12}$ ) 材料。使用  $\text{TGA-DSC}_{\lambda}$ XRD、SEM、粒度分析等手段 ,对产物的物相、形貌、粒度、电化学性能进行表征 将  $\text{Li}_4\text{Ti}_5\text{O}_{12}$ 样品制成 2032 纽 扣电池 .通过充放电测试仪研究了首次库伦效率及充放电循环性能。结果表明: 在机械力辅助下 750  $^{\circ}$ C 反应 3.5 h 可制得纯相  $\text{Li}_4\text{Ti}_5\text{O}_{12}$  粒径分布均匀 ,主要集中在  $0.6\sim2.5~\mu\text{m}$  ,首次循环放电比容量为 152.02~mAh/g 经过 20 次充放电循环 容量保持率为 96.5% 。

关键词: 钛酸锂; 锂离子电池; 机械力; 固相法; 放电比容量

中图分类号: TF823 ,TM911 文献标志码: A 文章编号: 1004-7638( 2019) 03-0034-05

**DOI**: 10.7513/j.issn.1004-7638.2019.03.007 开放科学(资源服务)标识码(OSID):



听语音 聊科研

# Preparation of Li<sub>4</sub>Ti<sub>5</sub>O<sub>12</sub> by Mechanical Force-assisted Solid-state Method

Sun Zhenyu Peng Cheng Ma Shaobo Han Qing

(School of Metallurgy Northeastern University Shenyang 110819 Liaoning China)

**Abstract**: Lithium titanate (  $\text{Li}_4\text{Ti}_5\text{O}_{12}$ ) samples were synthesized via mechanical force-assisted solid phase route using titanium dioxide and lithium carbonate as the initial titanium source and lithium source, respectively. The phase structure morphology particle size and electrochemical properties of the prepared  $\text{Li}_4\text{Ti}_5\text{O}_{12}$  were investigated respectively by TGA-DSC XRD SEM granulometer and lithium battery tester. 2032 button batteries were prepared using the  $\text{Li}_4\text{Ti}_5\text{O}_{12}$  samples and the cycle performance and rate performance were studied. The results show that pure  $\text{Li}_4\text{Ti}_5\text{O}_{12}$  can be synthesized via mechanical force-assisted solid phase route at 750 °C for 3.5 h with the uniform particle size of  $0.6 \sim 2.5~\mu\text{m}$ , the initial discharge specific capacity of 152.02 mAh/g and 96.5% of the capacity retention rate after 20 times of charge-discharge cycle.

Key words: Li<sub>4</sub>Ti<sub>5</sub>O<sub>12</sub> lithium ion battery mechanical force solid-state method discharge specific capacity

# 0 引言

 ${\rm Li}_4{\rm Ti}_5{\rm O}_{12}$ 作为锂离子电池负极材料在嵌锂/脱锂过程中晶胞常数和体积变化率均小于 1% 具有结

构稳定、长寿命、高安全性等优点,在动力及储能领域受到广泛关注 $^{[1-4]}$ 。目前  $\mathrm{Li}_4\mathrm{Ti}_5\mathrm{O}_{12}$ 的制备方法有主要有固相法、溶胶凝胶法、水热法、静电纺丝法、微波法、熔盐法、模板法、喷雾热解法等 $^{[5-8]}$ 。

收稿日期: 2019-04-22

作者简介: 孙震宇(1997—) 男 山东淄博人 本科生 研究方向: 锂离子电池负极材料制备及改性。E-mail: szysdjn@ 163.com; 通讯作者: 韩庆(1975—) 男 辽宁沈阳人 教授 研究方向: 稀有金属(钒、钛、稀土) 熔盐电化学、储能材料。E-mail: han-qNEUM@ 163.com。

固相合成法通常是将 LiOH •  $H_2O$  或  $Li_2CO_3$  和  $TiO_2$  等原料通过球磨过程进行长时间的研磨使物料混合均匀,然后在 800 °C 以上固相烧结制得。因工艺流程简单,固相合成法在工业生产中得到了广泛的应用,但同时也存在工艺时间长、能耗高、产物颗粒不均匀、易团聚等缺点 $[^{9-11}]$ 。 孟伟巍 $^{[12]}$ 等以二氧化钛、碳酸锂为原料,采用纯固相法合成钛酸锂,考察了反应温度、锂钛比、焙烧时间等因素对固相合成  $Li_4Ti_5O_{12}$ 的影响规律,经试验研究,在反应温度 800 °C、焙烧时间 8 h、Li /Ti=0.9 的条件下得到性能良好的产物。

笔者在固相法合成钛酸锂的工艺条件基础上加以 改进 采用实验室自主研发的高温能量球磨机 在高温 烧结的同时对反应体系施加机械力作用。由化学反应 热力学原理可知 材料制备反应过程的  $\Delta G$  主要取决于 材料制备过程中化学反应过程的外界条件 如温度、压 力、原料粉的物理性能(平均粒径、比表面、分散状态、 反应活性等)。这些外界条件可以在材料制备过程中 进行改变。在机械力辅助固相合成 Li<sub>4</sub>Ti<sub>5</sub>O<sub>1</sub>,材料的过 程中 相较于静态固相烧结 增加了球磨的机械力作 用 在机械力作用下 使反应物活性提高 反应得到强 化 反应速度加快 这种活化状态并不完全是粒度减小 引起的 而是有一部分机械能以晶格畸变、位错等缺陷 形式转变为化学能储存起来 使物质处于一种高能活 性状态 大大提高固相反应的动力 从而可以在更短时 间、更低温度的条件下制得纯相 Li<sub>4</sub>Ti<sub>5</sub>O<sub>12</sub>。研究采用 XRD、SEM、粒度分析、电池充放电测试等方法 对材料 的物相、形貌和性能进行了表征。

## 1 试验部分

#### 1.1 试验试剂及设备

试验试剂: 二氧化钛(500 nm ,分析纯)、碳酸锂(分析纯)。

试验设备: 高温能量球磨机(图 1)、X 射线衍射仪、扫描隧道显微镜、马尔文 2000 粒度分析仪、新威电池测试系统。

#### 1.2 试验方法及结果

按照 n(Li) /n(Ti) = 0.82 称取  $\text{Li}_2\text{CO}_3$  和  $\text{TiO}_2$  , 按照球料比 10:1 ,将耐热钢研磨球和反应物一起置于耐热钢球磨罐中 ,运行球磨 ,并分别在温度  $700\t,750$   $^{\circ}$  条件下进行反应 ,保温时间分别为  $3\t,3.5\t,4$  h ,保温结束后待罐体自然冷却 ,取出物料进行物相、形貌分析以及电化学性能测试。

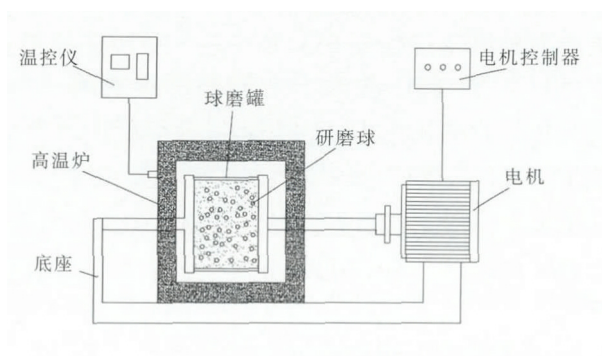


图 1 高温能量球磨机示意

Fig.1 Sketch map of high temperature energy ball mill

#### 1.3 产物性能的表征

采用 TGA-DSC 表征钛酸锂固相合成过程; 采用 X 射线衍射仪分析产物物相组成; 采用扫描隧道显微镜表征产物形貌; 将反应所得产物作为活性物质  $Super\ P$  作为导电剂 PVDF 作为粘结剂 N-甲基吡咯烷酮作为分散剂 .按照活性物质: 导电剂: 粘结剂 = 8:1:1 进行调浆 .涂覆于单面光铜箔上 .在真空干燥箱内  $80\ ^{\circ}$  真空烘干  $24\ h$  以金属锂为对电极 .在高纯氩气气氛的手套箱内组装成  $2032\$ 纽扣电池 .静置  $10\ h$  后采用新威电池测试系统在  $0.1\ C$  倍率下进行充放电测试 .电化学窗口为  $1.0\sim 2.5\ V(vs\ Li^+/Li)$ 。

# 2 结果与讨论

### 2.1 Li<sub>2</sub>CO<sub>3</sub> 和 TiO<sub>2</sub> 反应过程分析

图 2 是以混合均匀的  $\text{Li}_2\text{CO}_3$  和  $\text{TiO}_2(n(\text{Li}) / n(\text{Ti}) = 0.82)$  于空气气氛下在 25~1 000  $^{\circ}$  的温度范围内以 10  $^{\circ}$  /min 的升温速度测得的 TG-DTA 曲线。

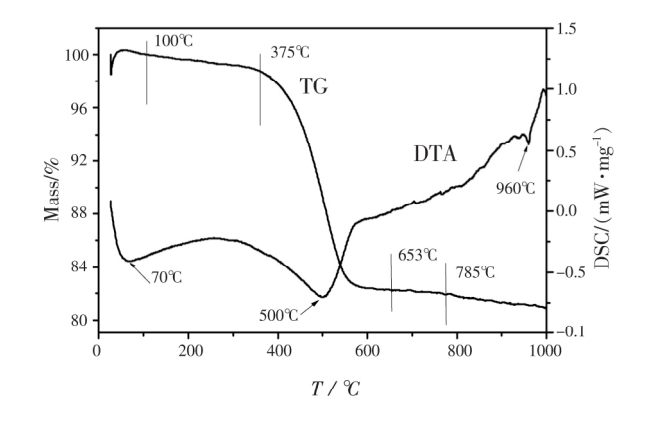


图 2 高温固相合成 Li<sub>4</sub>Ti<sub>5</sub>O<sub>12</sub>的 TG-DTA 曲线 Fig. 2 TG-DTA curve for synthesis of Li<sub>4</sub>Ti<sub>5</sub>O<sub>12</sub> by high temperature solid phase method

 $25 \sim 100$  °C 原料失去吸附水,相应地 DSC 曲线上产生吸热峰;  $375 \sim 653$  °C 存在一个快速失重过程 500 °C 在 DSC 曲线上有明显的吸热峰,对应  $\text{Li}_2\text{CO}_3$  热分解生成  $\text{Li}_2\text{O}$  和  $\text{CO}_2$  ,并形成中间产物  $\text{Li}_2\text{TiO}_3$ 、 $\text{Li}_2\text{Ti}_3\text{O}_7^{\text{[13]}}$ ;  $653 \sim 785$  °C 时质量稳定,对应  $\text{Li}_4\text{Ti}_5\text{O}_{12}$ 不断晶化的过程, $785 \sim 1000$  °C 缓慢失重,而 960 °C 时存在明显吸热,此时可能有少量的锂盐 挥发。

## 2.2 产物物相及形貌分析

根据 TG-DTA 曲线可知 将  $\text{Li}_2\text{CO}_3$  和  $\text{TiO}_2$  进行静态固相烧结在  $653 \sim 785$   $^{\circ}$  生成钛酸锂 因此分别在  $700 \sim 750$   $^{\circ}$  温度下进行机械力辅助固相烧结 ,保温时间为 4 h 将所得样品进行 XRD 分析(图 3) 可知: 700  $^{\circ}$  球磨合成的产物虽然具有尖晶石型  $\text{Li}_4\text{Ti}_5\text{O}_{12}$ 的特征衍射峰 ,但是有少量的  $\text{Li}_2\text{TiO}_3$  杂质 表明此温度偏低 ,部分生成的  $\text{Li}_2\text{TiO}_3$  未和  $\text{TiO}_2$  反应 故出现了富锂相  $\text{Li}_2\text{TiO}_3$ ; 750  $^{\circ}$  球磨合成的产物的特征衍射峰与尖晶石型  $\text{Li}_4\text{Ti}_5\text{O}_{12}$ 的标准图谱

完全吻合 峰型尖锐 ,无杂质峰 ,说明此温度条件下 合成了结晶度良好的纯相 Li<sub>4</sub>Ti<sub>5</sub>O<sub>1</sub>,材料。

为考察反应时间对于  ${\rm Li}_4{\rm Ti}_5{\rm O}_{12}$ 材料颗粒形貌的 影响 使用 SEM 和粒度分析仪对样品进行分析 ,如 图 4 所示。

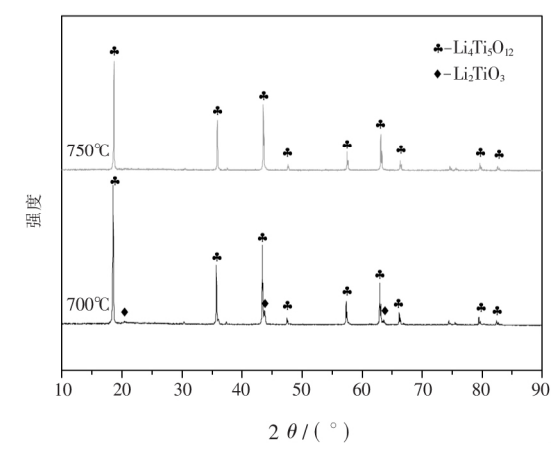


图 3 不同温度所得样品的 XRD 图谱 Fig.3 XRD patterns of samples synthesized at different temperatures

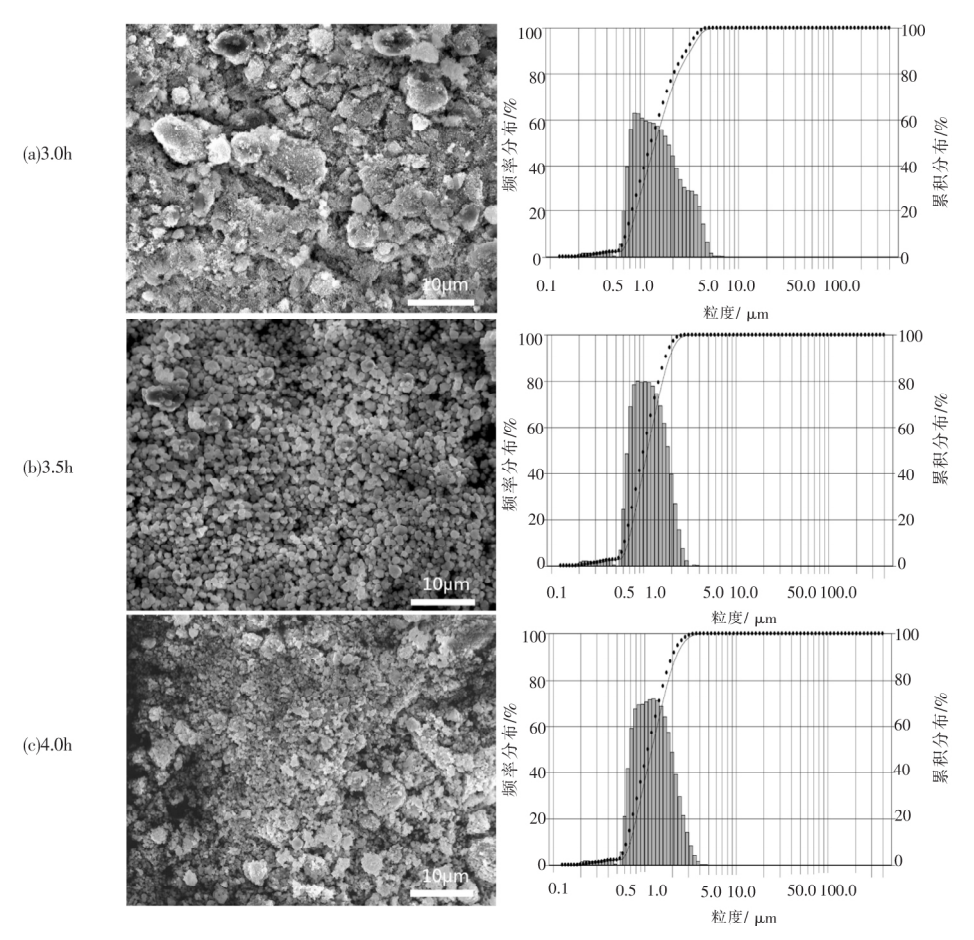


图 4 不同球磨时间合成的样品的 SEM 形貌及粒度分布

Fig.4 SEM and particle size distribution of samples synthesized at different milling time

球磨  $_3$  h 合成的  $_{\text{Li}_4\text{Ti}_5\text{O}_{12}}$ 材料存在明显的大颗粒,由于球磨时间短,球磨介质产生的机械作用未能使全部产物颗粒细化、均一 粒度分析显示颗粒粒径主要集中在  $_{0.6\sim4.0~\mu m}$  。 球磨  $_{3.5}$  h 时,颗粒在机械力的作用下研磨、破碎,生成粒径分布均匀的细小颗粒,形貌较为规则,频率分布图窄而高,颗粒粒径主要集中在  $_{0.6\sim2.5~\mu m}$  。 球磨  $_{4}$  h 时,同时存在过小颗粒和二次团聚颗粒,频率分布图略显宽化、粒径主要集中在  $_{0.6\sim3.0~\mu m}$  ,这是由于球磨时间延长,使部分粉体颗粒过度细化,高温下融化,进而出现团聚现象  $_{14}^{\text{Li}}$  。

2.3 机械力辅助固相法合成钛酸锂材料的充放电 测试

将不同反应时间制得的钛酸锂样品组装成纽扣 电池进行充放电测试 结果见图 5、6。

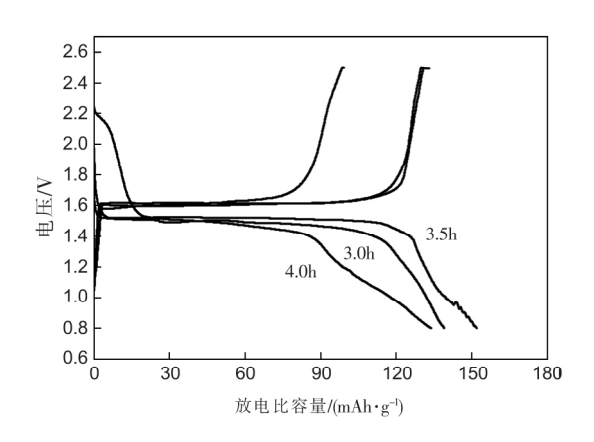


图 5 不同球磨时间合成的样品(750 °C) 首循环 充放电曲线(0.1 °C)

Fig.5 The initial charge-discharge cycle curves of samples synthesized at 750 °C for different reaction time (0.1 C)

由图 5 可知球磨时间 3 h 所得样品,由于  $\text{Li}_4\text{Ti}_5\text{O}_{12}$ 材料的平均粒径比较大,且分布不均匀,不 利于  $\text{Li}^+$ 在晶格中的扩散,所以  $\text{Li}_4\text{Ti}_5\text{O}_{12}$ 材料的电化 学性能较差; 球磨时间 4 h 所得样品,材料粒径范围宽,其中小颗粒使  $\text{Li}^+$ 容易扩散,而大颗粒在充放电过程中使颗粒表面和内部存在浓度梯度,产生极化

作用 不利于充放电反应的平稳进行  $^{[5]}$ 。 球磨 3.5~h 合成的  $\mathrm{Li_4Ti_5O_{12}}$  材料具有良好的颗粒形貌和合适的 粒度分布 ,有最佳的电化学性能,首次放电比容量为  $152.02~\mathrm{mAh/g}$ ,经过  $20~\mathrm{次充放电循环}$ ,放电比容量为  $146.70~\mathrm{mAh/g}$  容量保持率为 96.5%。

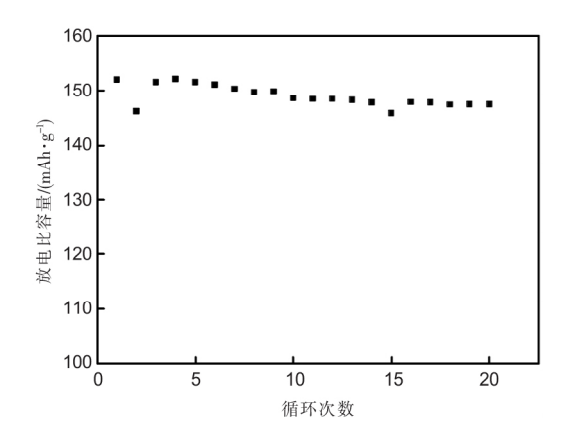


图 6 750 ℃球磨 3.5 h 合成样品的循环性能(0.1 C) Fig.6 The cycle performance of samples synthesized at 750 ℃ for 3.5 h (0.1 C)

### 3 结论

- 1) 在 25~785 ℃ 范围内,钛酸锂的合成反应分为三个步骤: 原料的脱水、偏钛酸锂的生成、钛酸锂的生成 温度过高会发生锂盐挥发,造成原料损失。
- 2) 在机械力辅助固相合成 Li<sub>4</sub>Ti<sub>5</sub>O<sub>12</sub>材料的过程中 相较于静态固相烧结 增加了球磨的机械力作用 "能够在反应过程中不断增大反应物的比表面 ,大大提高了固相反应的动力 ,从而可以在 750 ℃下反应 3.5 h 制得纯相 Li<sub>4</sub>Ti<sub>5</sub>O<sub>12</sub> 相比于普通固相烧结工艺 ,降低了反应温度 ,显著缩短了反应时间。将其制成纽扣电池进行充放电测试 ,首次放电比容量为 152.02 mAh/g ,经过 20 次充放电循环 ,放电比容量为 146.70 mAh/g 容量保持率为 96.5%。
- 3) 机械力辅助固相反应时间过长会导致颗粒过细,发生颗粒熔化及二次团聚,产物颗粒粒度分布均匀性变差。

### 参考文献

- [1] Fergus J W.Recent developments in cathode materials for lithium ion batteries [J]. Journal of Power Sources 2010 ,195(4):939-954.
- [2] Li Wang Liu Jiali Zhou Lan. Dynamic and frontier of modifications of Li<sub>4</sub>Ti<sub>5</sub>O<sub>12</sub> anode material [J]. Iron Steel Vanadium Titanium 2018 39(4):11–16.
  - (李旺,刘佳丽,周兰.国内外钛酸锂负极材料改性研究动态与前沿[J].钢铁钒钛,2018,39(4):11-16.)
- [3] Li Wenliang Li Xiaobing Li Xinhai. Progress in the modification of lithium titanate negative electrode materials [J]. Power Tech-

nology 2015 39 (9): 1993-1996.

(李文良 李小兵 李新海 钛酸锂负极材料的改性研究进展[J].电源技术 2015 39 (9):1993-1996.)

- [4] Li Xing ,Qu Meizhen. Research progress of improving the rate capability and tap density of  $\text{Li}_4\text{Ti}_5\text{O}_{12}$  [J]. Power Technology , 2008 ,32(6): 409–412.
  - (李星 瞿美臻.提高 Li<sub>4</sub>Ti<sub>5</sub>O<sub>1</sub>,高倍率性能和振实密度的研究进展 [J].电源技术 2008 32(6):409-412.)
- [5] Zhu Xiping He Yanbing.Research progress in improving the rate performance of lithium titanate anode materials [J]. Application of Chemical Industry 2012 41 (5): 884-890.
  - (朱希平, 贺艳兵. 提高钛酸锂负极材料倍率性能的研究进展[J]. 应用化工, 2012, 41(5): 884-890.)
- [6] Mei Tianqing "He Limin "Yu Guangnan *et al.* Synthesis and electrochemical performance of spherical Li<sub>4</sub>Ti<sub>5</sub>O<sub>12</sub> as anode material for lithium secondary batteries [J]. Materials Reports 2011 &: 45-48.
  - (梅天庆, 贺利敏, 鱼光楠, 等. 锂离子电池负极材料球形钛酸锂的合成及性能[J]. 材料导报, 2011, 8:45-48.)
- [8] Li Wenpeng ,Wang Lijuan ,Wang Song Microwave preparation of lithium zinc titanate anode for lithium ionbattery and electrochemical performance [J]. Journal of Nanyang Normal University 2017(12):17-21.
  - (李文鹏 王利娟 王松.微波法制备锂离子电池负极材料钛酸锂锌及电化学性能[J].南阳师范学院学报 2017(12):17-21.)
- [9] Mei Jie Zhu Yu Zhu Yanrong *et al*. Synthesis and fast charge-discharge performance of Li<sub>4</sub>Ti<sub>5</sub>O<sub>12</sub> nanosheet anode materials [J]. Nonferrous Metals Engineering 2017 7(2):6-9.
  - (梅洁 朱宇 朱彦荣 等. $\text{Li}_4\text{Ti}_5\text{O}_1$ )纳米片负极材料的合成及其快速充放电性能 [J].有色金属工程 2017  $\mathcal{I}(2)$ :6-9.)
- [10] Zhang Y Zhang Y ,Huang L *et al.* Hierarchical carambola-like Li<sub>4</sub>Ti<sub>5</sub>O<sub>12</sub>-TiO<sub>2</sub> composites as advanced anode materials for lithium-ion batteries [J]. Electro Chemica Acta 2016 ,195: 124–133.
- [11] Hoshide T ,Zheng Y ,Hou J ,et al. A flexible lithium-ion fiber battery by regularly stacking two-dimensional titanium oxidenanosheets hybridized with reduced graphene oxide [J]. Nano Lett. 2017 ,17 (6): 35-43.
- [12] Meng Weiwei Xu Yongjun ,Yan Beilei.Research on the properties of Li<sub>4</sub>Ti<sub>5</sub>O<sub>12</sub> materials by solid phase synthesis [J].Iron Steel Vanadium Titanium 2018 39(4):63-69.
  - (孟伟巍 徐用军 闫蓓蕾.固相法合成 Li<sub>4</sub>Ti<sub>5</sub>O<sub>12</sub>材料及性能研究[J].钢铁钒钛 2018 39(4):63-69.)
- [13] Zhao B Ran R Liu M et al. A comprehensivereview of Li<sub>4</sub>Ti<sub>5</sub>O<sub>12</sub>-based electrodes for lithium-ionbatteries: The latest advancements and future perspectives [J]. Materials Science & Engineering Reports 2015 98: 1-71.
- [14] Ji Junhong Qin Guoqiang Qi Manfu *et al*. Research progress in preparation and application of Li<sub>4</sub>Ti<sub>5</sub>O<sub>12</sub> anode materials [J]. Battery Industry 2017 21(5): 45–49.
  - (季俊红 秦国强 济满富 筹.Li<sub>4</sub>Ti<sub>5</sub>O<sub>2</sub>负极材料的制备及应用研究进展[J].电池工业 2017 21(5):45-49.)

编辑 杨冬梅

# 攀钢研究院发明专利助力纯钛无缝管开发

5月6日获悉 摩钢研究院开发的"一种纯钛无缝管斜轧穿孔的方法"获得国家知识产权局颁发的发明 专利证书。该专利技术已经在攀钢有关单位实施 ,显著提高了纯钛无缝管成材率 ,降低了生产成本。

为了解决国内纯钛无缝管生产成材率低、成本高的现状。攀钢研究院钛金属技术研究所开展了大量创新性研究工作。通过对国内外同类纯钛无缝管产品的多维度比较,发现现有热轧穿孔纯钛无缝管生产技术易导致废品率增加。经过大量试验研究,最终确定了一种全新的纯钛无缝管斜轧穿孔方法。该方法应用于生产后,减少了钛管缺陷。提高了成材率,降低了生产成本。同时,应用此方法,能够在包含斜轧穿孔机的热轧机组进行穿孔、定减径,从而在一条生产工艺线上直接生产出高精度的纯钛无缝管。

http://www.pzhsteel.com.cn/NewsCenter/readnews.aspx NewsID = 020607745